



AOS
SEMICONDUCTOR

产品规格说明书

Product Data Sheet

AOS74HC/HCT125D

WEB | www.aossemi.cn 



电源管理IC



通信接口芯片



二三极管



LDO稳压器



逻辑器件



MOSFETs



运算放大器



显示驱动



MCU单片机



光电器件

AOS74HC/HCT125D

Data Sheet

Logic Gates

带三态控制的4路缓冲器/线驱动器

概述

74HC/HCT125是具有三态输出的4路缓冲器/线驱动器，由输出使能输入（nOE）控制。nOE上的高电平使输出呈现高阻态。输出内置钳位二极管。这样就可以使用限流电阻将输入接口连接到超过VCC的电压。

特点

输入电平: AOS74HC125: CMOS 电平

AOS74HCT125: TTL电平

工作环境温度范围: $-40^{\circ}\text{C} \sim +125^{\circ}\text{C}$

封装形式: DIP14/SOP14/TSSOP14

订购信息

编带

产品料号	封装形式	打印标识	编带盘装数	编带盒装数	备注说明
AOS74HC/HCT125D	SOP14	AOS74HC/HCT 125	4000 PCS/盘	8000 PCS/盘	塑封体尺寸： 8.7mm × 3.9mm； 引脚间距：1.27mm

注：如实物与订购信息不一致，请以实物为准。



AOS74HC/HCT125D

Data Sheet

功能框图及引脚说明
功能框图

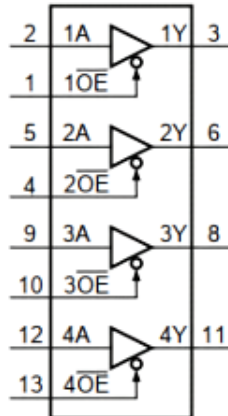


图 1 逻辑符号

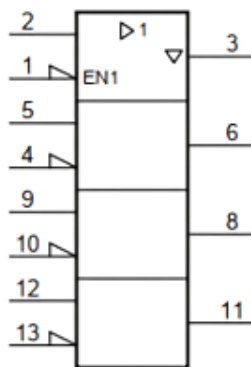


图 2 IEC 逻辑符号

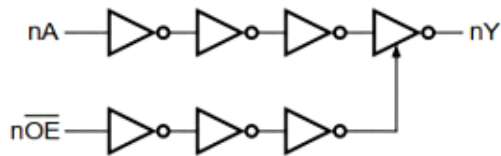


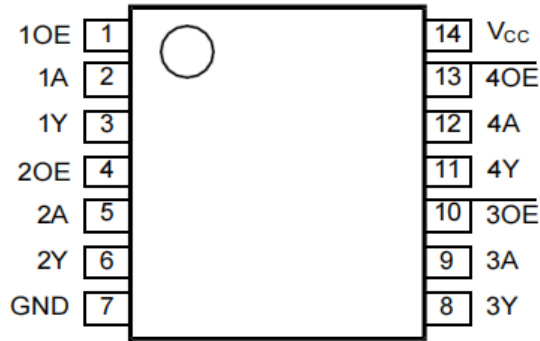
图 3 逻辑框图



AOS74HC/HCT125D

Data Sheet

引脚排列图



引脚说明

引脚	符号	功能
1	1- OE	输出使能输入（低电平有效）
2	1A	数据输入
3	1Y	数据输出
4	2- OE	输出使能输入（低电平有效）
5	2A	数据输入
6	2Y	数据输出
7	GND	地（0V）
8	3Y	数据输出
9	3A	数据输入
10	3- OE	输出使能输入（低电平有效）
11	4Y	数据输出
12	4A	数据输入
13	4- OE	输出使能输入（低电平有效）
14	V _{cc}	电源电压



AOS74HC/HCT125D

Data Sheet

功能表

控制	输入	输出
n0 - E	nA	nY
L	L	L
L	H	H
H	X	Z

注：

H = 高电平；L = 低电平；X = 无关；Z = 高阻态



AOS74HC/HCT125D

Data Sheet

电特性 极限参数

除非另有规定, $T_{amb}=25$

参数名称	符号	条件	最小	最大	单位
电源电压	V_{CC}	-	-0.5	+7	V
输入钳位电压	I_{IK}	$V_I < -0.5V$ or $V_I > V_{CC} + 0.5V$	-	± 20	mA
输出钳位电压	I_{OK}	$V_O < -0.5V$ or $V_O > V_{CC} + 0.5V$	-	± 20	mA
输出电流	I_O	$-0.5V < V_O < V_{CC} + 0.5V$	-	± 35	mA
电源电流	I_{CC}	-	-	70	mA
地电流	I_{GND}	-	-70	-	mA
总功耗	P_{tot}	-	-	500	mW
贮存温度	T_{stg}	-	-65	+150	
焊接温度	T_L	10s	DIP	245	
			SOP	250	

注：

- [1] DIP14封装：高于70°C, P_{tot} 的值以 12mW/K 线性降低。
- [2] SOP14封装：高于70°C, P_{tot} 的值以 8mW/K 线性降低。
- [3] (T)SSOP14 封装：高于60°C, P_{tot} 的值以 5.5mW/K 线性降低。



AOS74HC/HCT125D

Data Sheet

推荐使用条件

参数名称	符号	条件	最小	典型	最大	单位
AOS74HC125						
电源电压	V_{CC}	-	2.0	5.0	6.0	V
输入电压	V_i	-	0	-	V_{CC}	V
输出电压	V_o	-	0	-	V_{CC}	V
输入上升和下降转换速率	t/V	$V_{CC}=2.0V$	-	-	625	ns/V
		$V_{CC}=4.5V$	-	1.67	139	ns/V
		$V_{CC}=6.0V$	-	-	83	ns/V
工作环境温度	T_{amb}	-	-40	-	+105	
SN74HCT125						
电源电压	V_{CC}	-	4.5	5.0	5.5	V
输入电压	V_i	-	0	-	V_{CC}	V
输出电压	V_o	-	0	-	V_{CC}	V
输入上升和下降转换速率	t/V	$V_{CC}=4.5V$	-	1.67	139	ns/V
工作环境温度	T_{amb}	-	-40	-	+105	



AOS74HC/HCT125D

Data Sheet

电气特性 直流参数 1

(除非另有规定, $T_{amb}=25$, $GND=0V$)

参数名称	符号	测试条件	最小	典型	最大	单位	
AOS74HC125							
高电平输入电压	V_{IH}	$V_{CC}=2.0V$	1.5	1.2	-	V	
		$V_{CC}=4.5V$	3.15	2.4	-	V	
		$V_{CC}=6.0V$	4.2	3.2	-	V	
低电平输入电压	V_{IL}	$V_{CC}=2.0V$	-	0.8	0.5	V	
		$V_{CC}=4.5V$	-	2.1	1.35	V	
		$V_{CC}=6.0V$	-	2.8	1.8	V	
高电平输出电压	V_{OH}	$V_I=V_{IH}$ or V_{IL}	$I_o=-20\mu A; V_{CC}=2.0V$	1.9	2.0	-	V
			$I_o=-20\mu A; V_{CC}=4.5V$	4.4	4.5	-	V
			$I_o=-20\mu A; V_{CC}=6.0V$	5.9	6.0	-	V
			$I_o=-6.0mA; V_{CC}=4.5V$	3.98	4.32	-	V
			$I_o=-7.8mA; V_{CC}=6.0V$	5.48	5.81	-	V
低电平输出电压	V_{OL}	$V_I=V_{IH}$ or V_{IL}	$I_o=20\mu A; V_{CC}=2.0V$	-	0	0.1	V
			$I_o=20\mu A; V_{CC}=4.5V$	-	0	0.1	V
			$I_o=20\mu A; V_{CC}=6.0V$	-	0	0.1	V
			$I_o=6.0mA; V_{CC}=4.5V$	-	0.15	0.26	V
			$I_o=7.8mA; V_{CC}=6.0V$	-	0.16	0.26	V
输入漏电流	I_I	$V_I=V_{CC}$ or $GND; V_{CC}=6.0V$	-	-	± 1.0	μA	
截止状态输出电流	I_{OZ}	$V_I=V_{IH}$ or $V_{IL}; V_{CC}=6.0V; V_o=V_{CC}$ or GND	-	-	± 0.5	μA	
静态电流	I_{CC}	$V_I=V_{CC}$ or $GND; I_o=0A; V_{CC}=6.0V$	-	-	8.0	μA	
输入电容	C_i	-	-	3.5	-	pF	
SN74HCT125							
高电平输入电压	V_{IH}	$V_{CC}=4.5V \sim 5.5V$	2.0	1.6	—	V	
低电平输入电压	V_{IL}	$V_{CC}=4.5V \sim 5.5V$	—	1.2	0.8	V	
高电平输出电压	V_{OH}	$V_I=V_{IH}$ or V_{IL}	$I_o=-20\mu A; V_{CC}=4.5V$	4.4	4.5	—	V
			$I_o=-6.0mA; V_{CC}=4.5V$	3.98	4.32	—	V
低电平输出电压	V_{OL}	$V_I=V_{IH}$ or V_{IL}	$I_o=20\mu A; V_{CC}=4.5V$	—	0	0.1	V
			$I_o=6.0mA; V_{CC}=4.5V$	—	0.16	0.26	V
输入漏电流	I_I	$V_I=V_{CC}$ or $GND; V_{CC}=5.5V$	—	—	± 0.1	μA	
截止状态输出电流	I_{OZ}	$V_I=V_{IH}$ or $V_{IL}; V_{CC}=5.5V; V_o=V_{CC}$ or GND	—	—	± 0.5	μA	
静态电流	I_{CC}	$V_I=V_{CC}$ or $GND; I_o=0A; V_{CC}=5.5V$	—	—	8.0	μA	
串通电流	I_{CC}	每个输入引脚; $V_I=V_{CC}-2.1V; I_o=0A$; 其他输入在 V_{CC} 或 GND 上; $V_{CC}=4.5V \sim 5.5V$	—	100	360	μA	
输入电容	C_i	—	—	3.5	—	pF	



AOS74HC/HCT125D

Data Sheet

直流参数 2

(除非另有规定, $T_{amb} = -40 \sim +85$, GND=0V)

参数名称	符号	测试条件	最小	典型	最大	单位	
AOS74HC125							
高电平输入电压	V_{IH}	$V_{CC}=2.0V$	1.5	-	-	V	
		$V_{CC}=4.5V$	3.15	-	-	V	
		$V_{CC}=6.0V$	4.2	-	-	V	
低电平输入电压	V_{IL}	$V_{CC}=2.0V$	-	-	0.5	V	
		$V_{CC}=4.5V$	-	-	1.35	V	
		$V_{CC}=6.0V$	-	-	1.8	V	
高电平输出电压	V_{OH}	$V_I = V_{IH} \text{ or } V_{IL}$	$I_O = -20\mu A; V_{CC}=2.0V$	1.9	-	-	V
			$I_O = -20\mu A; V_{CC}=4.5V$	4.4	-	-	V
			$I_O = -20\mu A; V_{CC}=6.0V$	5.9	-	-	V
			$I_O = -6.0mA; V_{CC}=4.5V$	3.84	-	-	V
			$I_O = -7.8mA; V_{CC}=6.0V$	5.34	-	-	V
低电平输出电压	V_{OL}	$V_I = V_{IH} \text{ or } V_{IL}$	$I_O = 20\mu A; V_{CC}=2.0V$	-	-	0.1	V
			$I_O = 20\mu A; V_{CC}=4.5V$	-	-	0.1	V
			$I_O = 20\mu A; V_{CC}=6.0V$	-	-	0.1	V
			$I_O = 6.0mA; V_{CC}=4.5V$	-	-	0.33	V
			$I_O = 7.8mA; V_{CC}=6.0V$	-	-	0.33	V
输入漏电流	I_I	$V_I = V_{CC} \text{ or } GND;$ $V_{CC}=6.0V$	-	-	± 1.0	μA	
截止状态输出电流	I_{OZ}	$V_I = V_{IH} \text{ or } V_{IL}; V_{CC}=6.0V; V_O = V_{CC} \text{ or } GND$	-	-	± 5.0	μA	
静态电流	I_{CC}	$V_I = V_{CC} \text{ or } GND; I_O = 0A; V_{CC}=6.0V$	-	-	80	μA	
SN74HCT125							
高电平输入电压	V_{IH}	$V_{CC}=4.5V \sim 5.5V$	2.0	-	-	V	
低电平输入电压	V_{IL}	$V_{CC}=4.5V \sim 5.5V$	-	-	0.8	V	
高电平输出电压	V_{OH}	$V_I = V_{IH} \text{ or } V_{IL}$	$I_O = -20\mu A; V_{CC}=4.5V$	4.4	-	-	V
			$I_O = -6.0mA; V_{CC}=4.5V$	3.84	-	-	V
低电平输出电压	V_{OL}	$V_I = V_{IH} \text{ or } V_{IL}$	$I_O = 20\mu A; V_{CC}=4.5V$	-	-	0.1	V
			$I_O = 6.0mA; V_{CC}=4.5V$	-	-	0.33	V
输入漏电流	I_I	$V_I = V_{CC} \text{ or } GND;$ $V_{CC}=5.5V$	-	-	± 1	μA	
截止状态输出电流	I_{OZ}	$V_I = V_{IH} \text{ or } V_{IL}; V_O = V_{CC} \text{ or } GND$ $V_{CC}=5.5V$	-	-	± 5	μA	
静态电流	I_{CC}	$V_I = V_{CC} \text{ or } GND; I_O = 0A; V_{CC}=5.5V$	-	-	80	μA	
串通电流	I_{CC}	每个输入引脚; $V_I = V_{CC} - 2.1V$; $I_O = 0A$; 其他输入在 V_{CC} 或 GND 上; $V_{CC}=4.5V \sim 5.5V$	-	-	450	μA	



AOS74HC/HCT125D

Data Sheet

直流参数 3

(除非另有规定, $T_{amb} = -40 \sim +125$, $GND = 0V$)

参数名称	符号	测试条件	最小	典型	最大	单位	
AOS74HC125							
高电平输入电压	V_{IH}	$V_{CC} = 2.0V$	1.5	-	-	V	
		$V_{CC} = 4.5V$	3.15	-	-		
		$V_{CC} = 6.0V$	4.2	-	-		
低电平输入电压	V_{IL}	$V_{CC} = 2.0V$	-	-	0.5		
		$V_{CC} = 4.5V$	-	-	1.35		
		$V_{CC} = 6.0V$	-	-	1.8		
高电平输出电压	V_{OH}	$V_I = V_{IH} \text{ 或 } V_{IL}$	$I_O = -20\mu A; V_{CC} = 2.0V$	1.9	-	-	
			$I_O = -20\mu A; V_{CC} = 4.5V$	4.4	-	-	
			$I_O = -20\mu A; V_{CC} = 6.0V$	5.9	-	-	
			$I_O = -6.0mA; V_{CC} = 4.5V$	3.7	-	-	
			$I_O = -7.8mA; V_{CC} = 6.0V$	5.2	-	-	
低电平输出电压	V_{OL}	$V_I = V_{IH} \text{ 或 } V_{IL}$	$I_O = 20\mu A; V_{CC} = 2.0V$	-	-	0.1	
			$I_O = 20\mu A; V_{CC} = 4.5V$	-	-	0.1	
			$I_O = 20\mu A; V_{CC} = 6.0V$	-	-	0.1	
			$I_O = 6.0mA; V_{CC} = 4.5V$	-	-	0.4	
			$I_O = 7.8mA; V_{CC} = 6.0V$	-	-	0.4	
输入漏电流	I_I	$V_I = V_{CC} \text{ 或 } GND; V_{CC} = 6.0V$	-	-	± 1.0	μA	
截止状态输出电流	I_{OZ}	$V_I = V_{IH} \text{ 或 } V_{IL}; V_{CC} = 6.0V; V_O = V_{CC} \text{ 或 } GND$	-	-	± 10	μA	
静态电流	I_{CC}	$V_I = V_{CC} \text{ 或 } GND; I_O = 0A; V_{CC} = 6.0V$	-	-	160	μA	
SN74HCT125							
高电平输入电压	V_{IH}	$V_{CC} = 4.5V \sim 5.5V$	2.0	-	-	V	
低电平输入电压	V_{IL}	$V_{CC} = 4.5V \sim 5.5V$	—	-	0.8	V	
高电平输出电压	V_{OH}	$V_I = V_{IH} \text{ 或 } V_{IL}$	$I_O = -20\mu A; V_{CC} = 4.5V$	4.4	-	-	V
			$I_O = -6.0mA; V_{CC} = 4.5V$	3.7	-	-	V
低电平输出电压	V_{OL}	$V_I = V_{IH} \text{ 或 } V_{IL}$	$I_O = 20\mu A; V_{CC} = 4.5V$	-	-	0.1	V
			$I_O = 6.0mA; V_{CC} = 4.5V$	-	-	0.4	V
输入漏电流	I_I	$V_I = V_{CC} \text{ 或 } GND; V_{CC} = 5.5V$	-	-	± 1	μA	
截止状态输出电流	I_{OZ}	$V_I = V_{IH} \text{ 或 } V_{IL}; V_O = V_{CC} \text{ 或 } GND; V_{CC} = 5.5V$	-	-	± 10	μA	
静态电流	I_{CC}	$V_I = V_{CC} \text{ 或 } GND; I_O = 0A; V_{CC} = 5.5V$	-	-	160	μA	
串通电流	I_{CC}	每个输入引脚; $V_I = V_{CC} - 2.1V$; $I_O = 0A$; 其他输入在 V_{CC} 或 GND 上; $V_{CC} = 4.5V \sim 5.5V$	-	-	490	μA	



AOS74HC/HCT125D

Data Sheet

交流参数 1

(除非另有规定, $T_{amb}=25$, $GND=0V$)

参数名称	符号	测试条件	最小	典型	最大	单位	
AOS74HC125							
nA到nY的 传输延时	t_{pd}	见图5 ^[1]	$V_{CC}=2.0V$	-	30	100	ns
			$V_{CC}=4.5V$	-	11	20	ns
			$V_{CC}=5.0V$; $C_L=15pF$	-	9	-	ns
			$V_{CC}=6.0V$	-	9	17	ns
n \rightarrow OE到nY的使 能时间	t_{en}	见图6 ^[2]	$V_{CC}=2.0V$	-	41	125	ns
			$V_{CC}=4.5V$	-	15	25	ns
			$V_{CC}=6.0V$	-	12	21	ns
n \rightarrow OE到nY的失 能时间	t_{dis}	见图6 ^[3]	$V_{CC}=2.0V$	-	41	125	ns
			$V_{CC}=4.5V$	-	15	25	ns
			$V_{CC}=6.0V$	-	12	21	ns
转换时间	t_t	见图5 ^[4]	$V_{CC}=2.0V$	-	14	60	ns
			$V_{CC}=4.5V$	-	5	12	ns
			$V_{CC}=6.0V$	-	4	10	ns
功耗电容	C_{PD}	$C_L=50pF$; $f=1MHz$; $V_I=GND \sim V_{CC}[5]$	-	22	-	pF	
SN74HCT125							
nA到nY的 传输延时	t_{pd}	见图5 ^[1]	$V_{CC}=4.5V$	-	15	25	ns
			$V_{CC}=5.0V$; $C_L=15pF$	-	12	-	ns
n \rightarrow OE到nY的使 能时间	t_{en}	见图6 ^[2]	$V_{CC}=4.5V$	-	15	28	ns
n \rightarrow OE到nY的失 能时间	t_{dis}	见图6 ^[3]	$V_{CC}=4.5V$	-	15	25	ns
转换时间	t_t	见图5 ^[4]	$V_{CC}=4.5V$	-	5	12	ns
功耗电容	C_{PD}	$C_L=50pF$; $f=1MHz$; $V_I=GND \sim V_{CC}-1.5V[5]$	-	24	-	pF	



AOS74HC/HCT125D

Data Sheet

注:

- [1] t_{pd} 与 t_{PLH} 和 t_{PHL} 相同。
- [2] t_{en} 与 t_{PZL} 和 t_{PZH} 相同。
- [3] t_{dis} 与 t_{PLZ} 和 t_{PHZ} 相同。
- [4] t_t 与 t_{THL} 和 t_{TLH} 相同。
- [5] C_{PD} 用于确定动态功耗 (PD单位为 μW)。
 $P_D = (C_{PD} \times V_{CC2} \times f_i \times N) + (C_L \times V_{CC2} \times f_o)$, 其中:
 f_i =输入频率, 单位为MHz;
 f_o =输出频率, 单位为MHz;
 C_L =输出负载电容, 单位为pF;
 V_{CC} =电源电压, 单位为V;
 N =输入开关数;
 $(C_L \times V_{CC2} \times f_o)$ =输出总和。



AOS74HC/HCT125D

Data Sheet

交流参数 2

(除非另有规定, $T_{amb} = -40 \sim +85$, $GND = 0V$, $C_L = 50pF$)

参数名称	符号	测试条件	最小	典型	最大	单位	
AOS74HC125							
nA到nY的传输延时	t_{pd}	见图5 ^[1]	$V_{CC} = 2.0V$	-	-	190	ns
			$V_{CC} = 4.5V$	-	-	38	
			$V_{CC} = 6.0V$	-	-	33	
n $\bar{O}E$ 到nY的使能时间	t_{en}	见图6 ^[2]	$V_{CC} = 2.0V$	-	-	190	
			$V_{CC} = 4.5V$	-	-	38	
			$V_{CC} = 6.0V$	-	-	33	
n $\bar{O}E$ 到nY的失能时间	t_{dis}	见图6 ^[3]	$V_{CC} = 2.0V$	-	-	190	
			$V_{CC} = 4.5V$	-	-	38	
			$V_{CC} = 6.0V$	-	-	33	
转换时间	t_t	见图5 ^[4]	$V_{CC} = 2.0V$	-	-	75	
			$V_{CC} = 4.5V$	-	-	15	
			$V_{CC} = 6.0V$	-	-	13	
SN74HCT125							
nA到nY的传输延时	t_{pd}	见图5 ^[1]	$V_{CC} = 4.5V$	-	-	38	ns
n $\bar{O}E$ 到nY的使能时间	t_{en}	见图6 ^[3]	$V_{CC} = 4.5V$	-	-	42	ns
n $\bar{O}E$ 到nY的失能时间	t_{dis}	见图6 ^[3]	$V_{CC} = 4.5V$	-	-	38	ns
转换时间	t_t	见图5 ^[4]	$V_{CC} = 4.5V$	-	-	18	ns

注：

[1] t_{pd} 与 t_{PLH} 和 t_{PHL} 相同。[2] t_{en} 与 t_{PZL} 和 t_{PZH} 相同。[3] t_{dis} 与 t_{PLZ} 和 t_{PHZ} 相同。[4] t_t 与 t_{THL} 和 t_{TLH} 相同。

AOS74HC/HCT125D

Data Sheet

交流参数 3

(除非另有规定, $T_{amb} = -40 \sim +105$, $GND = 0V$)

参数名称	符号	测试条件	最小	典型	最大	单位	
AOS74HC125							
nA到nY的传输延时	t_{pd}	见图5 ^[1]	$V_{CC}=2.0V$	-	-	125	ns
			$V_{CC}=4.5V$	-	-	25	
			$V_{CC}=6.0V$	-	-	21	
n \bar{O} E到nY的使能时间	t_{en}	见图6 ^[2]	$V_{CC}=2.0V$	-	-	155	
			$V_{CC}=4.5V$	-	-	31	
			$V_{CC}=6.0V$	-	-	26	
n \bar{O} E到nY的失能时间	t_{dis}	见图6 ^[3]	$V_{CC}=2.0V$	-	-	155	
			$V_{CC}=4.5V$	-	-	31	
			$V_{CC}=6.0V$	-	-	26	
转换时间	t_t	见图5 ^[4]	$V_{CC}=2.0V$	-	-	75	
			$V_{CC}=4.5V$	-	-	15	
			$V_{CC}=6.0V$	-	-	13	
SN74HCT125							
nA到nY的传输延时	t_{pd}	见图5 ^[1]	$V_{CC}=4.5V$	-	-	31	ns
n \bar{O} E到nY的使能时间	t_{en}	见图6 ^[3]	$V_{CC}=4.5V$	-	-	35	ns
n \bar{O} E到nY的失能时间	t_{dis}	见图6 ^[3]	$V_{CC}=4.5V$	-	-	31	ns
转换时间	t_t	见图5 ^[4]	$V_{CC}=4.5V$	-	-	15	ns

注：

[1] t_{pd} 与 t_{PLH} 和 t_{PHL} 相同。[2] t_{en} 与 t_{PZL} 和 t_{PZH} 相同。[3] t_{dis} 与 t_{PLZ} 和 t_{PHZ} 相同。[4] t_t 与 t_{THL} 和 t_{TLH} 相同。

AOS74HC/HCT125D

Data Sheet

测试线路 交流测试线路

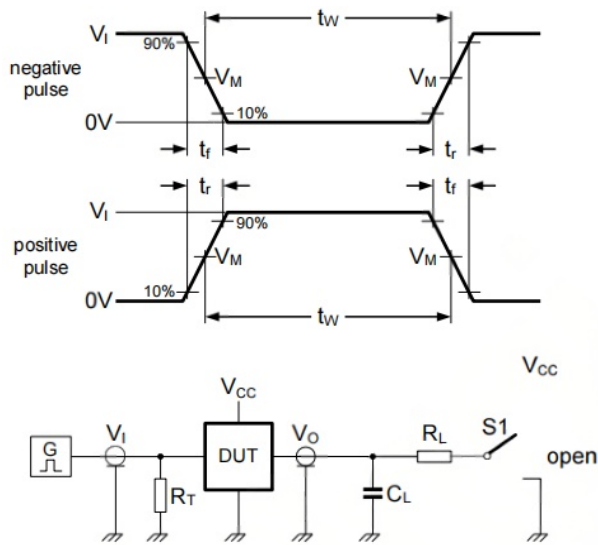


图4 测量开关时间的测试电路

测试电路的定义：

- C_L = 负载电容，包括探针、夹子上的电容
- R_T = 终端电阻须与信号发生器的输出阻抗 Z_o 匹配
- R_L = 负载电阻
- $S1$ = 测试选择开关

交流测试波形

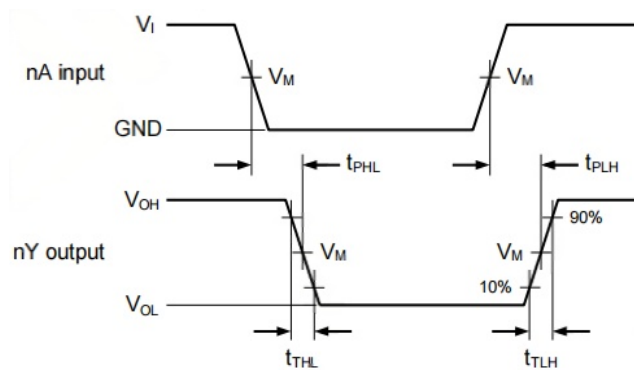


图5 输入 (nA) 到输出 (nY) 传输延迟



AOS74HC/HCT125D

Data Sheet

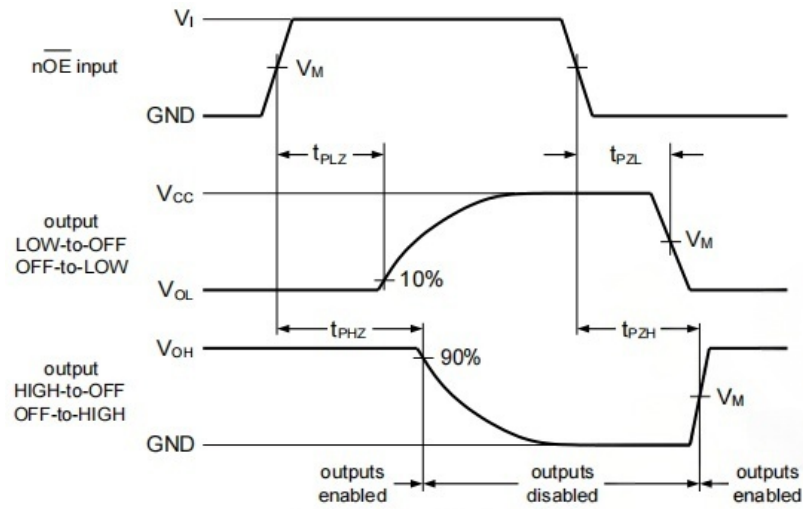


图6 使能和失能时间

测试点

类型	输入	输出
	V_i	V_M
AOS74HC125	$0.5 \times V_{\text{CC}}$	$0.5 \times V_{\text{CC}}$
AOS74HCT125	1.3V	1.3V

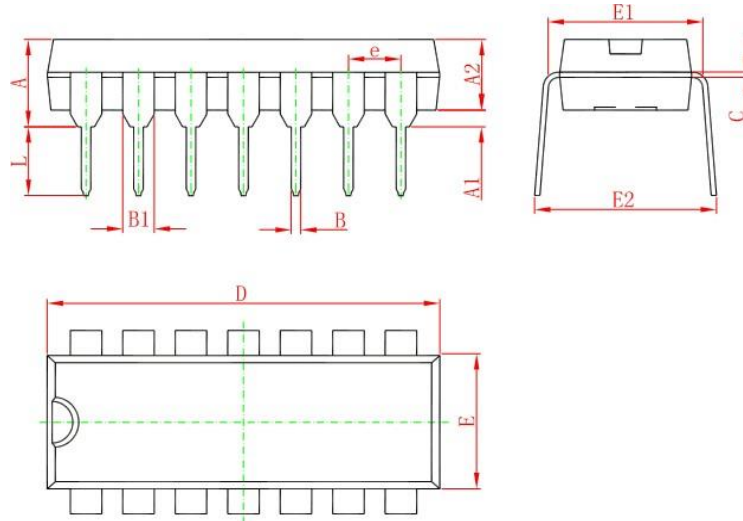
测试数据

类型	输入		负载		S1位置		
	V_i	t_r, t_f	C_L	R_L	$t_{\text{PHL}}, t_{\text{PLH}}$	$t_{\text{PZH}}, t_{\text{PHZ}}$	$t_{\text{PZL}}, t_{\text{PLZ}}$
AOS74HC125	V_{CC}	6ns	15pF, 50pF	1k	Open	GND	V_{CC}
AOS74HCT125	3V	6ns	15pF, 50pF	1k	Open	GND	V_{CC}



AOS74HC/HCT125D

Data Sheet

封装尺寸与外形图
DIP14 外形图与封装尺寸

Symbol	Dimensions In Millimeters		Dimensions In Inches	
	Min.	Max.	Min.	Max.
A	3.710	4.310	0.146	0.170
A1	0.510		0.020	
A2	3.200	3.600	0.126	0.142
B	0.380	0.570	0.015	0.022
B1	1.524(BSC)		0.060(BSC)	
C	0.204	0.360	0.008	0.014
D	18.800	19.200	0.740	0.756
E	6.200	6.600	0.244	0.260
E1	7.320	7.920	0.288	0.312
e	2.540(BSC)		0.100(BSC)	
L	3.000	3.600	0.118	0.142
E2	8.400	9.000	0.331	0.354



AOS74HC/HCT125D

Data Sheet

SOP14 外形图与封装尺寸

